

関西大学工学部 正員・西田一考  
関西大学工学部 正員 青山千彰

### 1. まえがき

まさ土地帶における切取のり面は、地山の中には存在する節理面が弱面となって、すべり崩壊することが多い。まさ土中の節理面の成因は種々考えられるが、一般に、粘土化していることが多い、粘土化していない節理面や人工的に作られた節理面とは異なる力学的挙動を示すことが推定される。しかし、従来、適当な試験法がなく、不明のままであった。本報告は、特に工事して開発したサンプリング法、試験の成形法、試験法を用いて、乱さないまさ土中の節理面がせん断強さと変形特性にいかに影響するかを明らかにするものである。

### 2. 試験のサンプリングと試験法

試験の採取場所は大阪府四条畷市に分布する領家型の南門縁岩の風化層で、乾燥密度1.5t/m<sup>3</sup>程度に風化しているが節理面の着しく発達した部分である。節理面を含む乱さない供試作の製作は図-1のようにして行なった。それは、現場で試料を採取後、真ちう管に納める(1)~(2)過程と運搬後、室内にて再度試料を押し出す(3)過程からなっている。(1)では釘打込み法でプロフク抜き試料を採る。(2)ではカッターを取りつけた真ちう管を周囲の土と切取りながら貫入し、試料を管内に納める。(3)では、試料を押出しながら、ペデスタルに取りつけたゴムスリーブで、管より出した試料を拘束し抜き出す。このようにして作成した供試作は擾乱を免ける可能性があるが、これについて、擾乱の程度と密度変化とて検討した結果、あまり大きく影響を受けることはないことが明らかにされている。<sup>1)</sup>また、サンプリングにおいては、節理面の方向が種々変化するよう場所を選定した。そして、最終的に成形された供試作については節理面の計測を行なった。図-2には、節理面の計測法を示しているが、節理面が鉛直軸(1)の方向)とすす角をβ、せん断破壊面と鉛直軸のすす角をα、供試作の重心と節理面の中心位置の距離をh、節理面の堆土の厚さをd(mm)とした。ただし、αはせん断試験終了時に測定した。その結果の代表例を図-3に示した。

このようにして成形、計測された供試作は三軸圧縮試験機にセットされ、側圧P<sub>s</sub>=0.5kg/cm<sup>2</sup>一定とし、圧密排水試験で供試作を破壊した。

節理面に存在する粘土についてX線回折実験で構成鉱物を調べた所、粘土鉱物はほとんどなく、大部分が、一次鉱物の石英、長石の細粒化したものであり、したがって、この節理は地殻運動によってせん断破壊によって生じたものと推定される。

### 3. 実験結果と考察

三軸圧縮試験の結果の代表例を図-4に示した。図-4(a)は応力-ヒズミ曲線であるが、βが0°から増大すると強度は減少しβ=32.5°、38.5°で最小値を示したのち、β=57.5°、90°で再度増加して、節理面のない供試作

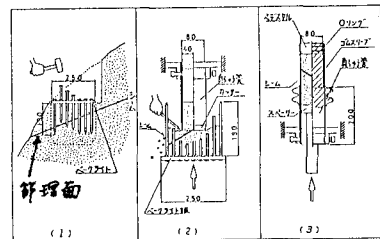


図-1. サンプリング、成形

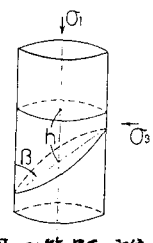


図-2 節理面方位

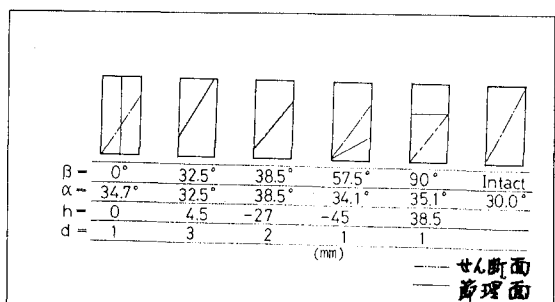


図-3 供試体代表例

(intact) に近づいている。ところが、軸ひずみが増大して、残留強度が近づくと、ひずみの供試体も立たない、ある一定の値に近づく傾向を示す。

また、図-4(b)は、体積変化の様子を示したものであるが、これも(a)と同様、 $\beta = 32.5^\circ, 38.5^\circ$  のときダイレタンシーが最小になり、それ以外の $\beta$ の直角では大きさを崩れを示す。一方、図-3によると、せん断破壊面が算理面と一致するのは、 $\beta = 32.5^\circ \pm 38.5^\circ$  の場合であり、上記の傾向と対応する。

そこで、いま、これらのデーターについて、J.C. ジューガーの理論を適用して検討してみる。<sup>2)</sup> ジューガーによると算理面を有する供試体の破壊条件は、

$$\sigma_1 [\sin(2\beta + \phi) - \sin\phi] - \sigma_3 [\sin(2\beta + \phi) + \sin\phi] = 2S_0 \cos\phi \quad \dots (1)$$

ここで、 $\phi$  は算理面の摩擦角、 $S_0$  は算理面の粘着力である。

それで、実験値を(1)式に代入し、最もうまくフィットするようなら $\phi$ 、 $S_0$  の値をトライアルで求めると、 $S_0 = 0.4 \text{ kN/m}^2$ 、 $\phi = 22^\circ$ となり、 $\beta \leq 14.5^\circ$ 、 $\beta \geq 53.5^\circ$  のとき $(\sigma_1 - \sigma_3)_p = 2.80 \text{ kN/m}^2$ 、 $14.5^\circ < \beta < 53.5^\circ$  のとき $(\sigma_1 - \sigma_3)_p = \frac{1.116}{\sin(2\beta + 22^\circ) - 0.375} \text{ kN/m}^2$ となる。これらを示したのが図-5である。

これによると、 $S_0 = 0.4 \text{ kN/m}^2$ 、というより少し大きめのように見えるが、この値はナレッジ・マテリヤルの大きさによって決まる。つまり、(1)式は、 $\phi = \text{const}$  と仮定して求めたもので、大きさによって決まるべきである。これは今後の問題である。

さらに、図-6 は強度とダイレタンシーの特性を示したものである。図より、強度はダイレタンシーと大きく依存しており、実験式を求めると、

$$(\sigma_1 - \sigma_3)_p = (\sigma_1 - \sigma_3)_R + 1.21 \left( \frac{d\sigma_u}{d\epsilon} \right)_f \quad \dots (2)$$

となり、残留強度 $(\sigma_1 - \sigma_3)_R$  はこの場合 $1.69 \text{ kN/m}^2$  となる。この関係がまさかすべてに適用しうるかどうかは疑問であるが、残留強度が、算理面の方向や、存在にもあまり影響されないことは、興味がある。そして、従来の人工的に作つた算理面についての実験結果と類似している。<sup>3)</sup>

その理由として考えられるのは、本実験の場合、算理面に存在する粘土か、それほど結晶質をもつてなく、せん断運動によつてより磨かれて破碎したものであつて、人工的にせん断破壊されたものと生因が類似しているためと考えられる。今後、さらに、種々の算理面について検討を進める。

なお本研究は文部省科研費、自然災害抑制研究(57020009)によつたことを記して感謝する。

#### 4. 参考文献

- 1) 齋山千鶴、甲山義久、西田一秀；「乱さない粘土のサンプリング」ならびに三軸試験法、第18回国土質工学研究発表会講演集、
- 2) J.C. ジューガー；「弾性・硬度・液限・液動論」、共立出版、pp. 169-120、B653。
- 3) 足立紀尚、林正元；「軟岩の力学特性と及ぼす不透水層の影響」、土木学会論文報告集、No. 305、pp. 97-110、1981。

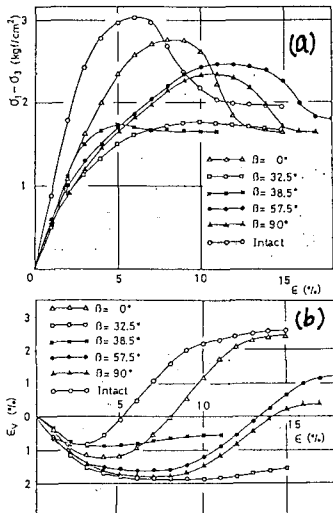


図-4. 実験結果の代表例

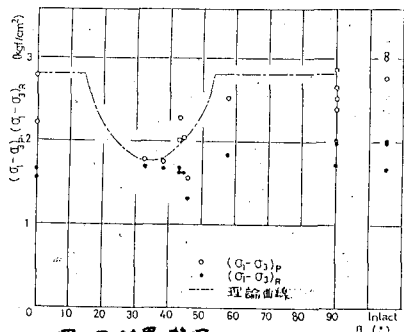


図-5. 結果の整理

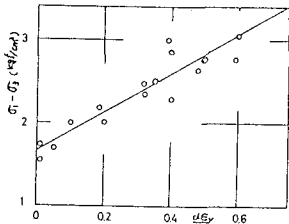


図-6. 強度とダイレタンシー